

$\text{Li}_2\text{O} \cdot \text{Al}_2\text{O}_3 \cdot 2\text{SiO}_2$ 의 組成을 갖는 유리에서 β -eucryptite의 核生成 및 結晶成長

李 祥 第·鄭 秀 鎮

서울大學校 無機材料工學科

(1985年 4月 8日 接受)

Nucleation and Crystal Growth of β -eucryptite in a Glass of the Molecular Composition $\text{Li}_2\text{O} \cdot \text{Al}_2\text{O}_3 \cdot 2\text{SiO}_2$

S. H. Lee and S. J. Chung

Dept. of Inorg. Mater. Eng., Seoul National Univ.

(Received 8 April, 1985)

ABSTRACT

Nucleation and crystallization of β -eucryptite in a glass of molecular percentage composition $\text{Li}_2\text{O} \cdot \text{Al}_2\text{O}_3 \cdot 2\text{SiO}_2$ are studied. The glasses are made by quenching of the melts from 1430°C to room temperature. Heat-treatments for nucleation and crystal growth are carried out at various temperature in the range between 500°C and 800°C with different duration of time. The amounts of crystallization are estimated by the method of X-ray powder diffraction. As the results, a time-temperature-transformation relation for crystallization is derived. The maximum rate of crystallization is observed at about 750°C from the T-T-T-curve, while the crystallization temperature is detected at 670°C by DTA measurement.

The crystallization temperature moved to 620°C by adding 5 weight percents of TiO_2 and it moved to 780°C by adding 2 weight percents of V_2O_5 . The activation energy for crystallization from the pure glass is calculated as 68 Kcal/mol and it varied to 53 Kcal/mol and 110 Kcal/mol when 5 weight percents of TiO_2 and 2 weight percents of V_2O_5 are added respectively.

1. 緒論

결정화유리 중에서重要な製品인 $\text{Li}_2\text{O} \cdot \text{Al}_2\text{O}_3 \cdot \text{SiO}_2$ 系의 組成을 갖는 결정화유리는 대단히 낮은 热膨脹係數를 가지며 热衡壁에 強하고 強度가 높기 때문에 特히 重要的 貨値를 갖는다¹⁾.

이系內의 主要 結晶相은 spodumene과 β -eucryptite 등이 있으며 더러가지 組成 및 物性과 添加物의 影響에 對한 廣範圍한 研究가 많이 報告되었으나 核生成 및 結晶化溫度에 對한 研究는 比較的 적은 편이다. 유리가 熔融狀態로 부터 冷却될 때 critical zone에 머물리 있게 되는 時間이 核生成에 큰 影響을 미치며 유리의 成形途中 失透가 일어나면 이때 유리內部에生成된 結

晶相과 유리母體사이의 热膨脹係數의 差異때문에 冷却途中쉽게 깨어지며 이와같은 徐冷途中에 생긴 結晶은 그 結晶粒子가 크기 때문에 機械的 強度가 弱하다. 그러나 熔融狀態로 부터 急冷시킨 유리는 다시 热處理하여 유리내에 많은 核이 생기게 하고 이 結晶核이 成長하게 되면 微細한 많은 結晶이 치밀하게 形成되어 物理的 性質이 向上된다. 이와같이 결정화유리의 製造는 유리의 結晶化에 對한 研究를 基礎로 한다. 本研究에서는 β -eucryptite와 같은 組成을 갖는 유리로 부터 β -eucryptite의 結晶核生成 및 結晶成長을 觀察하고 또한 TiO_2 와 V_2O_5 를 각각 5%와 2%씩 添加하여 이들의 影響을 밝히고자 한다. β -eucryptite는 空間群 P6₂22를 갖고 있으며 β -quartz의 構造로서 c-軸方向으로 負의

熱膨脹係數를 찾는다.

2. 實驗方法

2.1. 原料 配合

유리 製造의 出發物質로서 日本 WAKO 社製 Li₂CO₃, Al₂O₃, SiO₂를 β -eucryptite 의 組成에 맞도록 1 : 1 : 2 의 mol 比率로서 組合하였고, 添加物로서 역시 WAKO 社製인 TiO₂와 V₂O₅를 각각 5%, 2%씩 添加하였다. 各各의 原料組合比는 Table 1과 같다.

Table 1. Batch Composition of Starting Material

Batch No.	SiO ₂	Al ₂ O ₃	Li ₂ O*	TiO ₂	V ₂ O ₅
1	47.6	40.5	11.9		
2	45.2	38.2	11.3	5.0	
3	46.5	39.9	11.6		2.0

*: Li₂O was added as Li₂CO₃ form

2.2. 유리의 溶融

Table 1에 따르는 成分을 가진 시료를 組合하여 電氣爐에서 1430°C에서 1時間 동안 加熱하여 完全히 溶融시킨 後, 急冷시켜서 유리를 만들었다.

이 때 일어진 유리의 X-線 回折圖는 Fig. 1과 같다.

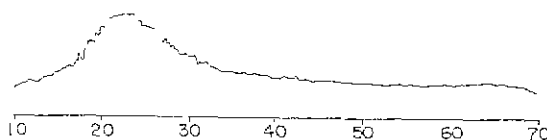


Fig. 1. XRD pattern of glass with the composition of Li₂O·Al₂O₃·2SiO₂ quenched from melt

2.3. DTA 分析

日本 Chyo Balance 社의 DTA Model TRDA3-H로 Pt-Pt/Rh 10%의 sample container 와, thermocouple 로는 Pt-Pt/Rh 13%로 되어 있으으며, 試料 100mg 과, 相對標準 試料 α -Al₂O₃ 100mg 으로 测定하였다. 粒子의 크기를 調節하기 위해, 325mesh 를 通過한 微粒子를 使用하여 結晶化 渦度를 测定하였다.

2.4. 热處理

2.3의 實驗에서 일어진 DTA의 結晶化 渦度를 根據로 이 結晶化 渦度附近에서 热處理하여 核을 生成시키고 다시 渦度를 上昇시켜 結晶成長을 시켰다.

温度를 上昇시킬 때 核生成 渦度를 結晶成長의 가장 잘 일어나는 渦度보다 約 150°C 낮게 잡아서 核을 生成시키고 다시 結晶成長 渦度까지 上昇시켜서 一定時

間 維持시킨 後 冷却시켰다.

2.5. X-線 回折 分析

溶融시킨 유리가 热處理過程을 通하여 結晶이 生成되었는가를 確認하고 生成된 結晶相의 含量을 测定하기 为了 X-ray diffractometer 를 利用하였다.

日本 Rigaku 社의 powder diffractometer로 Cu K α target 를 使用하였으며, 30KV, 15mA 의 出力으로 2 θ 의 範圍 10°~70°로 scanning speed 는 4°/min, chart speed 는 40mm/min 를 测定하였다.

2.6. 走査 电子 顯微鏡 觀察

溶融된 유리로부터 結晶成長되는 狀態의 测定을 为了 日本 Jeol 社의 JSM-35/FCS 를 使用하였다며, 加速電壓 25KV, 倍率은 1000~3000倍로 觀察하였다.

3. 實驗 結果 및 考察

3.1. 유리의 溶融

2.2에서 記述한 方法으로 溶融된 유리가 冷却 途中 結晶화가 일어났는지의 與否를 X-線 粉末回折器로 测定한 결과 20°가 20°인 附近에서 Fig. 1에 나타난 바와 같이 base line 이 상당히 올라가는 것을 볼 수 있었으며 β -eucryptite의 結晶相은 나타나지 않았다.

3.2. DTA 分析

Table 1에서의 No. 1 試料에 대해 結晶化 渦度를 测定하였다. 結晶化 渦度 및 activation energy의 测定은 Kissinger^{2,3)}가 提案한 升溫速度의 差異에 의한 結晶化 渦度變化로부터 計算하기 위해 升溫速度를 6.58, 10, 10, 14.42, 17.88°C/min로 各各 變化시켜서 實驗하였다.

이 때의 DTA curve는 Fig. 2와 같고 activation energy는 다음 式으로부터 求하였다.

$$\frac{d\left(\ln \frac{\phi}{T_m^2}\right)}{d\left(\frac{1}{T}\right)} = -\frac{E}{R}$$

E: 活性化 에너지

T: 氣體 常數

T_m : 結晶化 peak에서의 試料 渦度 (°K)

ϕ : 升溫速度 (°K/min)

이 때 앞의 式으로부터 活性化 에너지는 Table 2와 같이 하여 計算한다.

이렇게 하여 計算한 活性化 에너지는 84Kcal/mol로 나타났다.

또한 batch 1의 組成으로 일어진 glass를 550°C, 570°C, 590°C, 650°C에서 各各 6時間씩 热處理한 試料를 DTA로 测定한 peak는 Fig. 3과 같다.

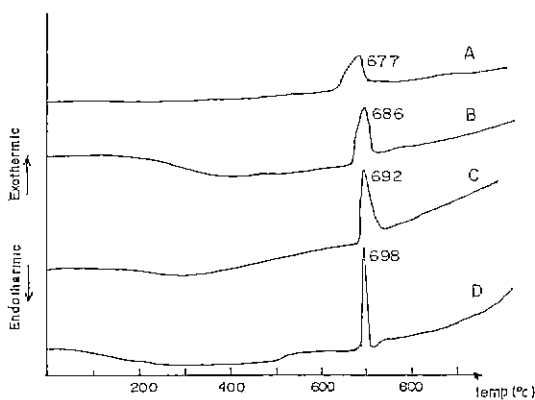


Fig. 2. Crystallization temperature by DTA with various heating rate

A: $6.58^\circ\text{C}/\text{min}$ B: $10.10^\circ\text{C}/\text{min}$
C: $14.40^\circ\text{C}/\text{min}$ D: $17.88^\circ\text{C}/\text{min}$

Table 2. Calculation of Activation Energy According to Variation of Heating Rate.

Heating rate (°C/min)	Cryst. temp (°K)	$\ln\phi/(T_m)^2$	$1/T_m \times 10^3$
6.58	950	11.4814	1.0526
10.10	959	11.4268	1.0427
14.42	965	11.0811	1.0362
17.88	971	10.8764	1.0298

이 때 550°C 와 570°C 에서는 热處理 温度가 낮기 때문에 유리상이 그대로 남아 있었으므로 DTA에 의한 昇溫시 結晶화가 이루어지므로, 發熱 peak가 나타나지만 590°C , 650°C 에서 热處理한試料는 이미 結晶화가 일어났기 때문에 DTA에서는 發熱 peak가 나타나지 않았다.

3.3. X-線 回折圖에 의한 結晶화率 测定

glass ceramic에서 失透가 일어난다는 것은 非晶質 유리가 結晶質로 變化하는 것을 意味한다. 이 때 結晶화가 일어난 程度를 X-線 粉末 回折器를 使用하여 测定하였다⁹. 非晶質인 유리는 peak가 나타나지 않고, base line의 2θ 가 25° 인 부근에서 올라가게 되지만 結晶화가 進行되면 base line의 낮아지면서 結晶들의 peak가 나타나게 된다.

結晶화率의 絶對的인 穎은 다음과 같은 方法에 依하여 推定하였다.

$$C = 100 \times \frac{I_g - I_X}{I_g - I_B}$$

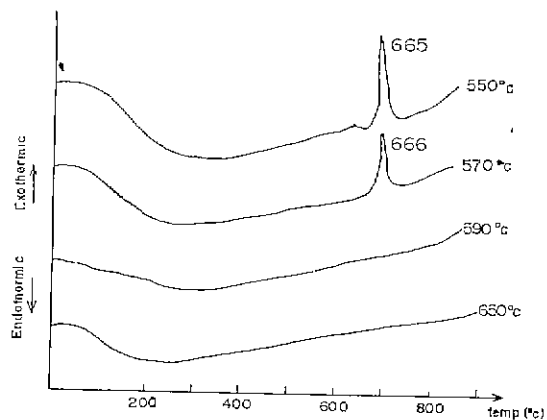


Fig. 3. DTA curves for sample heat treatment of temperature shown above.

C: 結晶化率 (%)

I_g : 100% 유리의 background intensity

I_X : 热處理로 失透된 유리 試料의 background intensity

I_B : 유리와 同一한 成分을 가진 結晶의 background intensity

結晶화 유리의 相互間의 結晶含量은 peak 強度의 相對的인 比率로써 算出하였다.

Batch 1 試料를 550°C , 600°C , 625°C , 640°C , 650°C , 660°C , 670°C , 680°C , 700°C , 750°C , 800°C 로 變化시키고, 時間도 30分, 60分, 90分, 120分, 165分, 210分으로 變化시켜, 2θ 範圍 $17\sim35^\circ$ 에의 peak intensity로 結晶화率를 比較 测定한 結果는 Fig. 4, Fig. 5와 같다.

Fig. 4에서 観察되듯이 結晶화는 550°C 에서는 거의 일어나지 않아서 210分이 지나더라도 8% 이하이지만 600°C 에서는 30분에서 6% 程度이면 것이 210分後에는 62%까지 急激히 增加한다. 750°C 에서는 時間에 關係없이 거의 65% 程度로 一定하여 800°C 가 되면 오히려 약간 減少하게 된다. 温度가 增加함에 따라 結晶화는 점점 增加하여서 結晶화가 第一 걸 일어나는 温度는 $700\sim750^\circ\text{C}$ 附近으로 생각할 수 있고 오히려 이보다 温度가 높아지면 溶融된 液相이 增加되면서 結晶화比率이 減少하게 된다. 또한 結晶화率를 時間에 대한 槍수로 생각해서 plot한 Fig. 5에서 보면, 30分經過시 550°C 인 境遇 1%이면 것이 800°C 에서 65%까지 增加한다. 60分經過時에도 600°C 일 때 19%에서 750°C 에서 67%로 增加하나 120分以上에서는 結

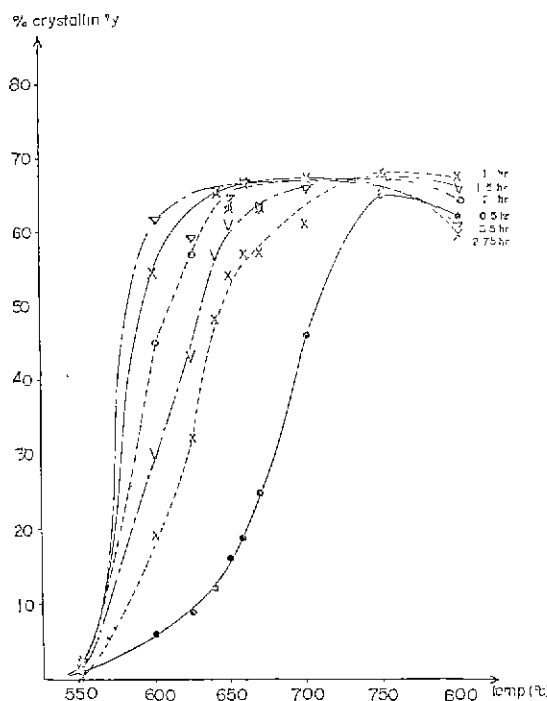


Fig. 4. Crystallinity percentage as per temperature variation.

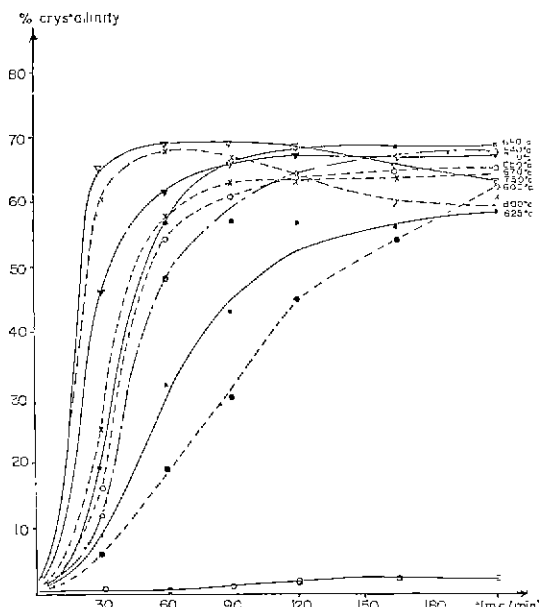


Fig. 5. Crystallinity percentage as per time factor.

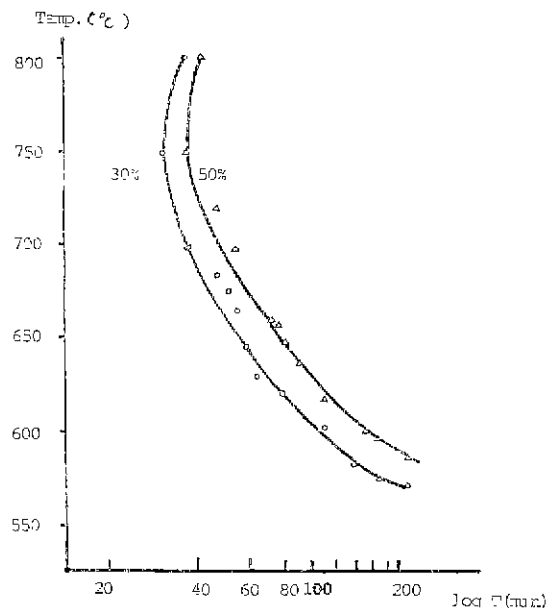


Fig. 6 Relation between time-temperature-transformation

晶化가 더 이상進行되지 않았다.

Fig. 4와 Fig. 5에서의結果를根據로 time-temperature-transformation curve를求한結果는 Fig. 6과 같다.

이들試料中 600°C에서 90分, 210分, 650°C, 700°C, 750°C, 800°C에서各各 120分씩 热處理한試料의 X線回折圖는 Fig. 7과 같다. 600°C에서 90分經過했을 때의 結晶화가 안 된 유리狀態이었으나 時間이經過하면 점점 結晶화가 일어났으며, 750°C에서는 結晶화가 가장 잘 된 것으로 나타났다.

Fig. 4에서 600~700°C의範圍에서는時間에 따른結晶화의變化가 크게 나타났으며 Fig. 5에서는 30~90分사이에서는溫度에 따라結晶화의差異가 심하므로 600~700°C의溫度領域에서溫度는 20°C間隔으로時間은 10분에서 90분까지 10분間隔으로热處理한試料의結晶화比率를Fig. 8에 나타내었다. Fig. 8에 나타난時間變化에 따른結晶화比率로부터Rindone의방법대로結晶화에必要한活性化에너지를求하였다⁹⁾.

結晶화率의變化가 linear하게 나타난부분의 두溫度를 T_1 , T_2 로하고, 結晶화率의增加比를 J_1 , J_2 로하면 다음式이成立한다.

$$H = -R \frac{\ln J_1 - \ln J_2}{\frac{1}{T_1} - \frac{1}{T_2}}$$

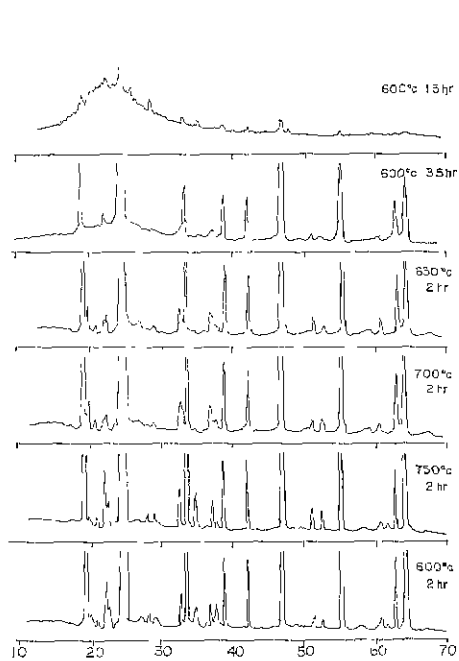


Fig. 7. X-ray diffraction patterns of β -eucryptite heat treated various temperatures and time

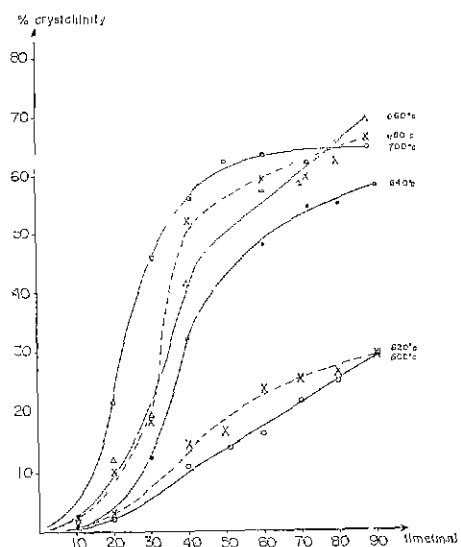


Fig. 8. Crystallinity percentage as time factor, in the temperature range between 600°C and 700°C

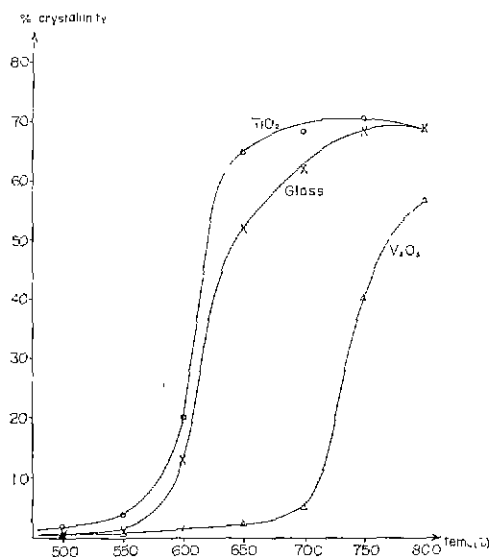


Fig. 9. Relationship between temperature and crystallinity percentage

윗 式에서 T_1 과 T_2 를 660°C 와 640°C 를 잡고 活性化 에너지를 求하면 68Kcal/mol 의 値이 計算된다.

이들 試料는 結晶화시킨 濕度보다 150°C 낮은 温度에서 1時間동안 核生成을 시키고 다시 5°C/min 的速度로 升溫시켜서 一定溫度에서 結晶화시킨 것이다.

그러나 유리의 Homogeneous nucleation 은 事實 일어나기 힘들다. 그럼에도 不拘하고 nucleation 이 일어나는 것은 면지, 수분같은 不純物이 存在해서 이들이 核으로 作用하게 된다⁶⁾.

결정화유리의 機械的 強度를 높이기 위하여는 結晶核이 많이 생기게 하고 이것을 热處理시켜서 微細構造의 結晶粒子가 많이 만들어지도록 하여야 한다. 이런 不純物이 核으로 作用할 때는 結晶粒子가 상당히 커지기 때문에 效用價值가 있게 된다. 따라서 均質核生成보다 TiO_2 를 核으로 넣는 不均質核生成이 바람직하게 된다⁷⁾.

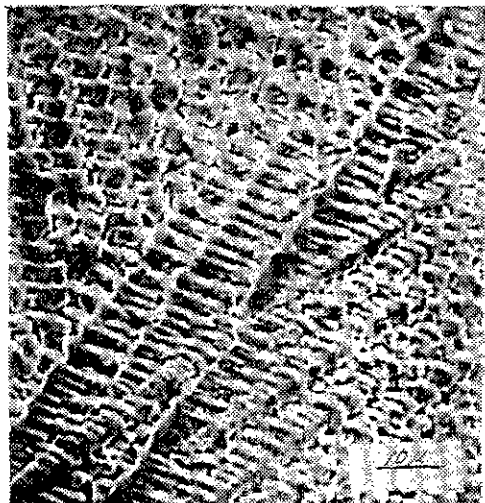
TiO_2 를 5wt. % 添加한 試料 및 V_2O_5 를 2wt. % 温加하여 이들을 核으로 作用시켜 이들의 影響을 比較 考察하였다.

DTA 分析時 V_2O_5 를 含有한 試料는 melting point 가 1365°C 程度로 나타났으나 結晶化 温度는 780°C로相當히 높게 나타났다. TiO_2 를 5% 含有한 試料를 각각 500°C 에서부터 800°C 까지 50°C 間隔으로 1時間씩 热處理한 試料를 X-線 粉末 回折로서 觀察하였다.

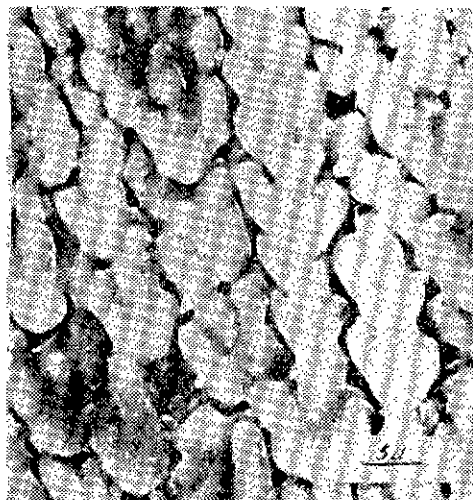
V_2O_5 를 含有한 試料는 700°C 까지 유리로 存在하다가 750°C와 800°C 에서만 β -eucryptite의 結晶 peak

가 나타났다. 주 V_2O_5 는 結晶화를 妨害하며 結晶화率은 750°C 에서 40%, 800°C 에서 57% 程度로 結晶화度가 낮으며 肉眼으로 보기에도 結晶화가 적게 일어나는 것이 확인되었다. 그러나 TiO_2 의 添加시에는 550°C 에서도 若干의 結晶화가 나타나기始作하여, 650°C 가 되면 大部分 結晶화가 일어난다. X-線粉末回折圖에서 TiO_2 를 添加한 경우에는 V_2O_5 가 含有된 경우보다 훨씬 強한 β -eucryptite의 peak를 나타내고 있으며 유리로 溶融된 狀態에서는 無色이나 热處理하면 은은한 褐色을 나타내게 된다.

A

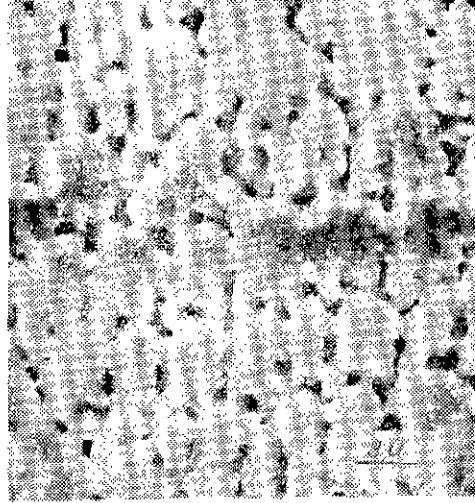


C



V_2O_5 添加時와 TiO_2 를 添加한 경우의 結晶화率을 Fig. 9에 図示하였다. Fig. 9에서 보면 結晶화度가 急激히 增加하는 部分은 添加物이 없을 때와 TiO_2 가 添加될 경우는 $600\sim650^{\circ}\text{C}$ 구간이며, V_2O_5 添加時は $700\sim750^{\circ}\text{C}$ 로 나타났다. 이것은 結晶화 渦度가 각각 670°C 와 780°C 인 것을 감안해 보면 結晶화 渦度보다 $30\sim80^{\circ}\text{C}$ 가 낮은 부분에서 急激히 結晶화가 進行되고 있음을 알 수 있다. TiO_2 가 添加된 경우 結晶화가 잘 일어났으나 V_2O_5 의 添加時には 結晶화 渦度가 110°C 나 높아지면서 結晶화率이 크게 減少하는 것으로 나타

B



D

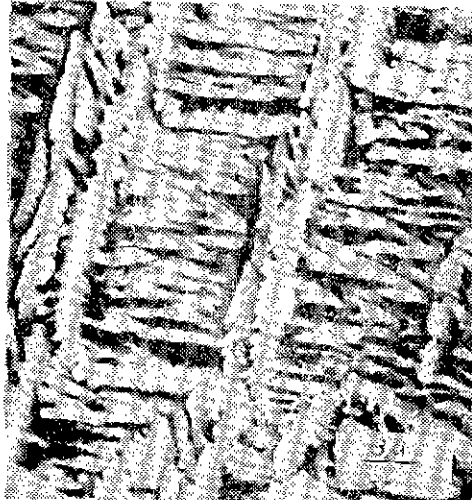


Fig. 10. SEM micrographs of eucryptite for various additives.

A: no additive 750°C for 2hrs. ($\times 1000$) B: no additive 750°C for 2hrs. ($\times 3000$)
 C: 5wt% TiO_2 750°C for 2 hrs. ($\times 2000$) D: 2wt% V_2O_5 820°C for 3hrs. ($\times 3000$)

났다. 이 경우에도 역시活性化 에너지를求한結果 TiO_2 添加時는 53Kcal/mol로낮아졌으나 V_2O_5 의添加時는 110Kcal/mol로相當히높아졌다.

3.4. 走査電子顯微鏡觀察

熔融시킨 유리를熱處理하여 結晶成長시킨試料 및添加劑로 TiO_2 , V_2O_5 를添加한試料에대해結晶相을電子顯微鏡으로觀察하였다.热處理된試料를 5%HF溶液에 15초간 담가表面에남아있는유리질을제거한뒤얼어진結晶相은Fig. 10과같다.添加劑를넣지않은경우A, B에서는結晶화가일어나면서粒子들사이에배열이매우規則적으로되어있으며C에서 TiO_2 가添加된경우는粒子가좀더成長되어나타난데반해D의 V_2O_5 添加試料는820°C에서3時間熱處理하였지만結晶成長은極히微細하고不規則적으로나타나있으며針狀의構造를나타내고있으면서서로粒子間に連結이되어있지않았고실체로도相當히brittle한狀態이었다.

4. 結論

high- LiAlSiO_4 (β -eucryptite)의結晶核生成 및成長을조사하기위해 Li_2O , Al_2O_3 , SiO_2 를 1:1:2의mol比率로混合하여 1430°C에서 1時間熔融시킨後急冷시킨유리에대해熱處理하였다.結晶화溫度는 670°C이며熱處理때結晶화가急激히增加하는溫度는이보다50°C가낮은部分이다.結晶화率은溫度, 時間,添加物에따라크게影響을받으나 대체로 3時間後면70%以上이된다.

結晶화의活性化 에너지는 68Kcal/mol이며 TiO_2 가添加되었던53Kcal/mol로減少하고 V_2O_5 가添加되었던110

Kcal/mol로增加하며結晶화溫度도 780°C로上昇한다.

REFERENCES

- 1) L. D. Pye, H. J. Stevens, W. C. Lacourse, "Introduction to glass science", Plenum Press, New York-London 237-271(1972)
- 2) H. E. Kissinger, "Variation of peak temperature with heating rate in different thermal analysis", Int. Res. the National Bureau of Standards, 57 (4) 217-221(1956)
- 3) H. E. Kissinger, "Relation Kinetics in differential thermal analysis", National Bur. St., 29(11) 17 02-1706(1957)
- 4) S. M. Ohlberg, D. W. Strickler, "Determination of percent crystallinity of a partly devitrified glass by X-ray diffraction", J. Am. Ceram. Soc., 45 170-171(1962)
- 5) Guy E. Rindone, "Further Studies of the Crystallization of a lithium silicate glass", J. Am. Ceram. Soc., 45(1) 7-12(1962)
- 6) H. R. Swift, "Some Experiments of crystal growth and solution in glasses", J. Am. Ceram. Soc., 30(6) 165-169(1947)
- 7) P. E. Doherty, D. W. Lee, R. S. Davis, "Direct Observation of the crystallization of $\text{Li}_2\text{O}-\text{Al}_2\text{O}_3-\text{SiO}_2$ glasses containing TiO_2 ", J. Am. Ceram. Soc., 50(2) 77-81(1967)